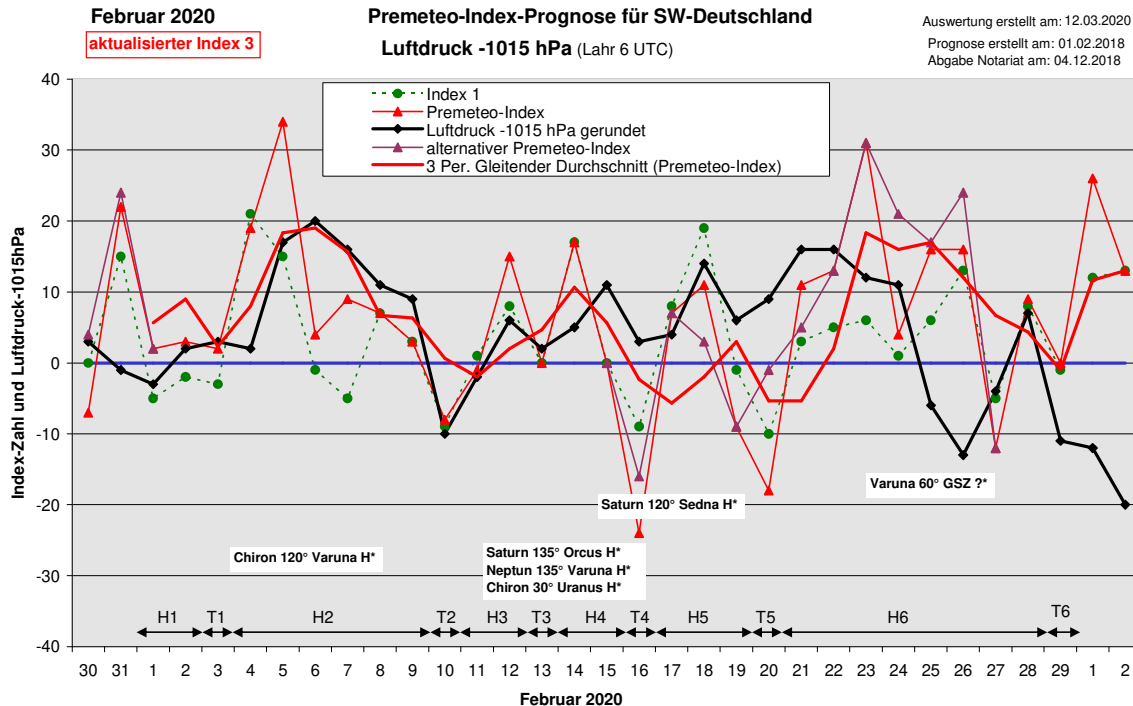


Wetterlagenverlauf Februar 2020 im Vergleich zur Premeteo-Indexprognose für Südwest-Deutschland

(Im Diagramm sind über der Datumsachse die real eingetreten Hoch- und Tiefdruckphasen durch Doppelpfeile eingetragen. Ausschlaggebend für die Evaluation ist der tägliche Premeteo-Index, in der dünneren, roten Linie mit Dreieckspunkten dargestellt. Ein negativer Premeteo-Index zeigt die Wahrscheinlichkeit für eine zyklonale Tiefdruckströmung, ein positiver Premeteo-Index die Wahrscheinlichkeit für eine antizyklonale Hochdruckströmung an.

Die Wetterlagenbeschreibungen wurden anhand der Berliner Wetterkarten erstellt. Ausschlaggebend ist die Europa-Bodenkarte um 0 UTC, die feiner skalierte 12 UTC-Karte von Mitteleuropa wird nur bei einem Wetterlagenwechsel für die Einordnung des Tages hinzugezogen. Am Ende des Dokuments befinden sich die Tabellen und Konstellationen, die dem Diagramm zugrunde liegen.)



Zusammenfassung:

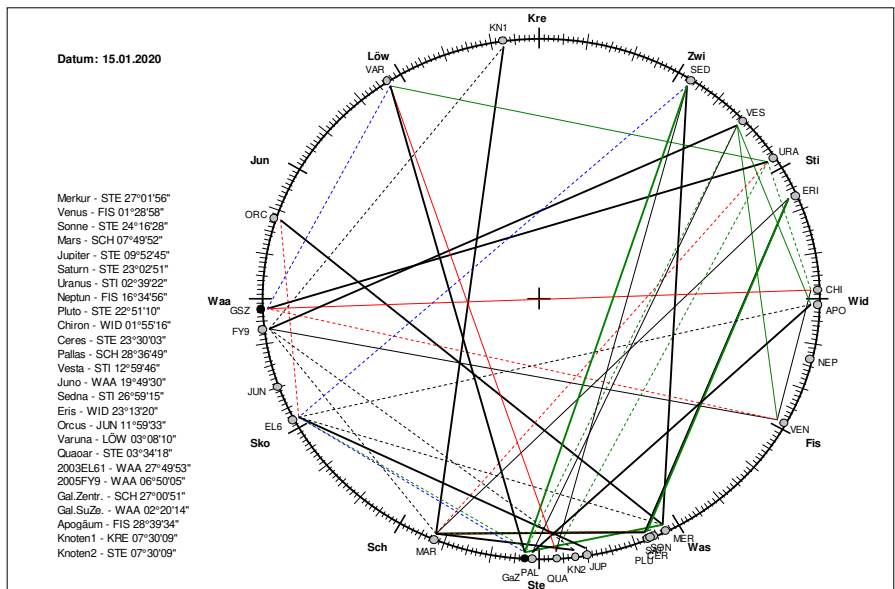
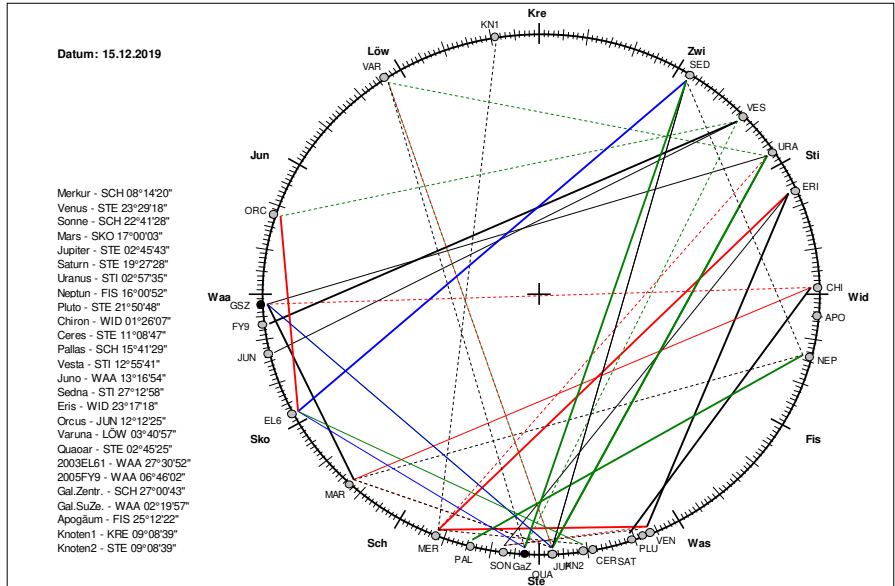
Die Auswertung der Prognosen des Februar 2020 hat ein gutes Ergebnis gebracht. Nur vier der 29 Tage waren bezüglich der Wetterlage falsch prognostiziert. Der mittlere Premeteo-Index pro Tag war für die Hochdruckwetterlagen positiv und für die Tiefdruckwetterlagen negativ, so wie es die Hypothese optimal formuliert. Nur die Symbolprognose fiel relativ schlecht aus, da das Wetter insgesamt wechselhafter und niederschlagsreicher war, als 23 als antizyklonal eingestufte Tage erwarten lassen würden. Der Monat war für einen Wintermonat viel zu warm, und die warmen Luftmassen haben dementsprechend die Atmosphäre stark labilisiert und für überdurchschnittlich viel Niederschlag und Wind gesorgt.

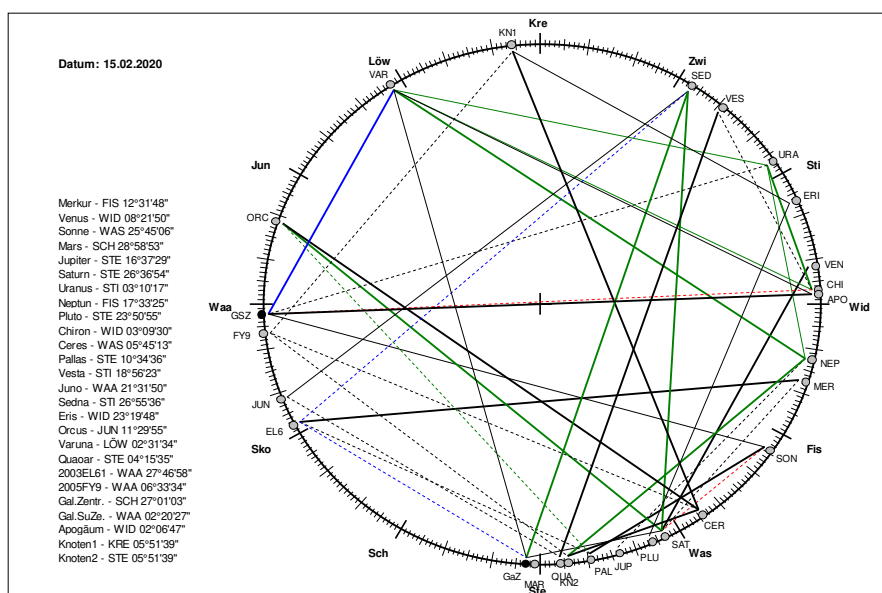
Der wärmste Tag in Lahr mit einer Tagesmitteltemperatur von 15,1°C wurde am 16. Februar registriert mit Sonne 90° Sedna T / 120° Haumea H und Chiron 30° Uranus H* am Vortag. Die tiefste Tagesmitteltemperatur von -1,1°C wurde am 7. gemessen und ging einher mit Ceres 45° Neptun T* / 180° Varuna A* / 90° Uranus A* sowie Chiron 120° Varuna H*.

Der höchste Luftdruck um 6 UTC in Lahr trat am 6. mit 1034,5 hPa auf. Ihm war am Vortag das Exaktwerden Merkur 150° Varuna Hf und Chiron 30° Uranus H* vorangegangen. Der tiefste Luftdruck war am 26. mit 1002,5 hPa zu verzeichnen und ihm ging am Vortag das Exaktwerden von Saturn 90° Haumea T* und Varuna 60° GSZ?* voraus.

Mit der ungewöhnlich warmen Wettersituation des Winters 2019/20 ging auch eine ungewöhnliche Häufung von Planetenpositionen einher, die sich vom Bereich des Tierkreiszeichens Schütze in den Bereich des Steinbocks verlagerte. Die drei folgenden

Kosmogramme vom 15.12.2019, 15.01. und 15.02 2020 zeigen das jeweils eindrücklich in ihrem unteren Bereich. Diese einseitig dichte Belegung des kosmischen Umfelds der Erde in einer bestimmten Richtung bedeutete für die geozentrischen Raumzeitstrukturen eine Konvergenz in diesem Raum, die einer energetischen Verdichtung entsprach, die atmosphärisch weltweit bemerkbar wurde. Der Klimawandel hatte diese polarisierende Konstellation z. B. für Australien mit katastrophalen Hitzewellen und Feuersbrünsten noch verstärkt.





Beschreibung der einzelnen Wetterphasen:

Hochdruckphase 1: Der Februar 2020 begann ungewöhnlich warm. Südwestdeutschland befand sich in einem Hoch, dessen Kern über Westmarokko lag. Mit der warmen Luftmasse kam es zu starker Bewölkung und reichlich Niederschlag. Zum 2. um 0 UTC hatte sich der Kern des Hochs nach Südostspanien verlagert. Es kam im Laufe des Tages zum Durchgang einer kurzen Tiefdruckwelle mit Schauern, doch blieben die Isobaren überwiegend zum Hoch hin gekrümmt. Der Premeteo-Index summierte über die 2-tägige Hochdruckphase auf +5.

Tiefdruckphase 1: Am 3. um 0 UTC waren die Isobaren über Südwestdeutschland flach zu einem Hoch über der Iberischen Halbinsel orientiert und zugleich überquerte eine Kaltfront unsere Region. Um 12 UTC war die Strömung bereits zyklonal. Dabei fiel ungewöhnlich viel Niederschlag und es kam lokal zu Überschwemmungen und Erdbeben. Das Wettergeschehen vollzog sich zwischen den gegensätzlichen Impulsaspekten Venus 60° Pluto T / 60° Saturn T, Sonne 30° Jupiter T und Merkur 144° Makemake Hf. Der Premeteo-Index hatte einen Wert von +2.

Hochdruckphase 2: Am 4. um 0 UTC lag Tief Petra mit seinem Kern über Südwestdeutschland und um 12 UTC war die Strömung über der Region bereits wieder antizyklonal. Hoch Frank wanderte vom Ostatlantik über Frankreich und erreichte am 7. mit seinem Kern Süddeutschland. Von da verlagerte sich der Kern zum 8. über die Nordkaparten und zum 9. über den Südostbalkan. Der Premeteo-Index summierte über die 6-tägige Hochdruckphase auf +76.

Tiefdruckphase 2: Am 10. kam die Region in den Isobarenbereich von Orkantief Sabine, dessen Kern um 0 UTC über dem westlichen Norwegen lag und sich zum 11. nach Nordskandinavien verlagerte. Der Premeteo-Index hatte einen Wert von -8.

Hochdruckphase 3: Um 12 UTC am 11. hatte sich schon eine antizyklonale Strömung durch das Azorenhoch eingestellt, das auch am 12. die Region überlagerte. Der Premeteo-Index summierte über die 2-tägige Hochdruckphase auf +14.

Tiefdruckphase 3: Um 0 UTC des 13. lag noch ein Hochdruckkern über den Alpen, doch bis 12 UTC setzte sich Tief Tomris durch, dessen Kern am 14. um 0 UTC über Norddeutschland lag. Der Premeteo-Index hatte einen Wert von 0.

Hochdruckphase 4: Um 12 UTC des 14. bestand bereits eine antizyklonale Strömung, die am 15. um 0 UTC einen Kern über Süddeutschland hatte. Der Premeteo-Index summierte über die 2-tägige Hochdruckphase auf +17.

Tiefdruckphase 4: Am 16. dehnte Tief Victoria seinen Isobarenbereich über ganz Deutschland aus. Der Premeteo-Index hatte einen Wert von -24.

Hochdruckphase 5: Um 0 UTC des 17. lag Südwestdeutschland noch im Einflussbereich von Tief Victoria, dessen Kerne sich zügig nach Osten verlagerten. Um 12 UTC wurden die

Isobaren über der Region jedoch schon vom Azorenhoch gekrümmt, das am 18. den Luftdruck deutlich ansteigen ließ. Bei einem Premeteo-Index von -9 dehnte sich Tief Victoria I, II, III mit Kernen über Finnland, Nordsee, Karasee noch einmal bis über unsere Region aus, doch setzte sich bis 12 Uhr wieder eine antizyklonale Strömung durch, die am 20. einen Kern über Süddeutschland aufwies. Der Premeteo-Index summierte über die 3-tägige Hochdruckphase auf +9.

Tiefdruckphase 5: Um 0 UTC des 20. lag ein Hochdruckkern über Süddeutschland, doch um 12 UTC hatte sich schon der Isobarenbereich von Tief Wiltrud bis über die Region ausgedehnt, dessen Kern am 21. über dem Nordmeer lag. Der Premeteo-Index hatte einen Wert von -18.

Hochdruckphase 6: Tief Wiltrud mit Kern über dem Nordmeer reichte um 0 UTC des 21. noch über ganz Deutschland, doch stellte sich bis 12 UTC durch das Azorenhoch schon eine antizyklonale Strömung über Südwestdeutschland ein, die am 22. den Kern Günter über Frankreich und einen Kern über den Ostalpen ausbildete. Am 23. lag Kern Günter über den Pyrenäen und am 24. über Südwestfrankreich. Um 0 UTC des 25. dehnte sich Tief Zehra über der Nordsee vorübergehend bis zu den Alpen aus, doch zeigte sich um 12 UTC über unserer Region bereits wieder eine antizyklonale Strömung, die am 26. einen schmalen, flachen Keil über unserer Region aufrecht erhielt, der sich am 27. wieder als Azorenhoch über ganz Deutschland ausweitete. Der Premeteo-Index hatte an diesem Tag einen einzelnen negativen Wert von -12. Ausschlaggebend war hierfür der Aspekt Sonne 144° Varuna T und seine Symmetrie zu Varuna 144° GaZ A?* und das Wetter mit Niederschlag und dichter Bewölkung entsprach der Prognose, wobei das Luftdruckminimum aber schon am Vortag erreicht worden war. Am 28. waren es ein Hoch vor Portugal und ein Hochdruckkern über Südwestfrankreich, die die Wetterlage abschließend bestimmten. Der Premeteo-Index summierte über die 8-tägige Hochdruckphase auf +88.

Tiefdruckphase 6: Der letzte Tag des Februar 2020 wurde durch Tief Charlotte mit Kern über dem Nordostatlantik geprägt. Der Premeteo-Index hatte den Wert 0.

SW-D befand sich an 23 Tagen im Einflussbereich antizyklonaler Strömung. Die Summe des prognostizierten Premeteo-Index für diese Tage ergab +209. Dies entsprach einer Indexzahl von +9,09 pro Tag.

An 6 Tagen befand sich SW-D im Einflussbereich zyklonaler Strömung. Die Summe des prognostizierten Premeteo-Index für diese Tage ergab -48. Dies entsprach einer Indexzahl von -8,00 pro Tag.

Die Prognose durch die Premeteo-Wettersymbole war an 7 Tagen falsch (am 4., 12., 14., 18., 23., 25., 26.), an 7 Tagen richtig und an 15 Tagen tendenziell richtig.

Zu den Tabellen



12.03.2020
Februar 2020
01.02.2020



Prognose für SW-Deutschland

aktualisierter Index 3

Vom 2. - 6. Pallas 0° Kn2. Vom 3. bis 5. täglich ein Merkur-Hf-Aspekt! Am 16. beginnt Chiron 0° Apogäum H* und dauert bis zum 22.3. an. Wegen des Gewöhnungseffekts der Atmosphäre wird die Dauerauslösung Chiron 30° Uranus H8 nur die ersten drei Tage ihrer Aktivierung vom 21. - 23. angerechnet. Am 10./11. Dreierkonjunktion Apogäum-Venus-Chiron. Vom 23. bis 25. Dreierkonjunktion Quaoar-Mars-absteigender Mondknoten. Ab dem 24. beginnt die Konjunktion von Quaoar mit dem absteigenden Mondknoten. Die rot markierten Aspekte im Index 3 sind Aspekte, bei denen der ursprüngliche Konjunktionsplanet den höheren Rang hat als der Partnerplanet. Das bedeutet, dass der Konjunktionsplanet bei diesen Aspekten immer als Planet 2 auftritt. Diese Aspekte werden ab Januar 2020 nicht mehr angerechnet.

Langsamläufer-Impulse				H*	H*	T*		H*		
Schnellläufer-Impulse	H, Hf, 2Tf	T	2T, Hf	H, Hf	Hf, 2H, T	2H, 2T		Hf	T	3H, 2T, Tf, Hf
Temperaturimpulse	W	K	K		2K		W*	W*	W	2W
Premeteo-Index -zyklonal, + antizyklonal (Index 1+2+3)	2	3	2	19	34	4	9	7	3	-8
Pre.IX (ALTERNATIV)										
Index 1 (12 - 12 UTC) exakte Aspekte des Tages	-5	-2	-3	21	15	-1	-5	7	3	-9
Index 1 (ALTERNATIV)										
Symmetrien (0 - 0 UTC)	Pal 6 Sup Qua (06) 1 A* Mer 67 Mar Ura (02) T - GaZ 59 Hau Mer (03) Tf A +7 Jup 10 Plu Qua (03) H3 H*(13/5) --- Var 9op Son Plu (13) A T - GaZ 7 Mar Qua (23) A H*(3/0) ---		Ven 8 Nep Chi (12) A W Tst ---	Nep 46 Ura Cer (01) H*(7/4) T*(11,5/19) A* ? GSZ 149 Ura Mer (15) A* (5/3) A T --- Ven 61 Sat Sed (15) T A H* -7 Mer 30 Chi Cer (23) A Hf A* W* ---	Chi 30 Ura Mer (02) H* (8/3) A T --- Mer 150 Var GSZ (03) Hf K A* 7+14 Mer 59 Ura Qua (19) T H H*(6/2) ?	Plu 9 Jup Cer (07) H* H* --- Hau 151 Ven Sed (18) H ? A +7	GSZ 135 Son Ves (01) T H* A ? Mer 72 Mar Ves (01) A H H +7 Orc 6op Nep Mer (14) ? A ? Son 44 Chi Qua (19) A A H*(5,5/2) ---	Ura 90 Var Cer (22) H*(4,5/1) A* A* ?	GSZ 180 Ven Chi (09) A T*(1/5) --- Var 144 GaZ Mer (10) A*(2/1) A T --- Mer 45 Plu Eri (16) A A A*(7/4) ---	Var 143 Mar Mer (11) H A A +7 Sed 151 Mar Hau (17) H ? A +7
Index 2 (12 - 12 UTC)	7	0	0	-7	14	0	14	0	0	7
Index 2 ALTERNATIV										
ausgelöste Aspekte (= durch Konjunktionen aktivierte Aspekte)		Pal 90 Mak H5	Pal 90 Mak H5	Pal 90 Mak H5	Pal 90 Mak H5	Pal 90 Mak H5				Ven 120 Var H2 Chi 30 Ura H(8) Chi 120 Var H*(8/0,5) (+8) Chi 180 GSZ T*(1/5) -8
Index 3 (Summe)	0	5	5	5	5	5	0	0	0	-6
Index 3 ALTERNATIV										
Symbol-Prognose	3	3	3	2	2	3	3	3	3	3
Symbol-Prognose altern.	3	3	3	2	2	3	3	3	3	3
Wochentag	Sa	So	Mo	Di	Mi	Do	Fr	Sa	So	Mo
Datum	1	2	3	4	5	6	7	8	9	10
reale Wetterlage	H1: Hf, H - 2Tf, T / +5		T1: 2T - Hf / +2		H2: 3H*, 3Hf, 5H - T*, 4T / +76					T2:Tf, 2T-Hf, 3H*-8
Luftdruck (hPa) 06 UTC	1011,8	1016,6	1018,1	1016,6	1032,1	1034,5	1030,6	1025,7	1023,7	1004,7
mittl. Temp.(°C)	12,8	12,4	10,6	5,8	4,1	0,9	-1,1	2,5	10,2	12
Sonnenscheindauer (h)	0,4	0	0	1,7	5,4	8,6	7,5	7,2	5,1	4,8
Niederschlag (Liter)	5,8 / 12	16 / 2	12,8 / 58	7,4 / 3	0	0	0	0	0,6	8,1 / 2
Bodenwetterlage 00 UTC (Kernlage des Druckgebiets, das SW-D beeinflusst)	H ü W-Marokko	H ü SO-Iber	H ü Iber, K-Fro ü SW-D	T ü SW-D	H ü S-Irl u Bisk	H ü O-F	H ü S-D	H ü N-Kapart	H ü SO-Balk	Orkan-T ü W-Norw
Bodenströmung 12 UTC zyklonal (z), antizyklonal (a)	fl a	a-z	z	a	a	fl z	fl a	a-z	fl a	a
Strömung auf 500 hPa 00 UTC	SW a	NW fl z	WNW a-z	W a-z	N a	N a	NO a	SW a	SW z	W fl z
zutreffende Wettersymbole	5 hr	5 hr	5 hr	5 f	2-3 r	2 hr	2 hr	2 hr	3 r	3-5 hr

Übertrag
Index 1: -3
Index 2: 0

SON 150 ORC WAS 11°44'38" JUN 11°44'38" Hf +3	CER 60 APO WAS 00°40'01" WID 00°40'01" A*	SON 30 JUP WAS 14°14'15" STE 14°14'15" T K -3	MER 30 APO FIS 00°53'40" WID 00°53'39" A	MER 150 GSZ FIS 02°20'24" WAA 02°20'23" A	CER 45 NEP WAS 02°14'41" FIS 17°14'41" T*(11,5/19) -5	CER 180 VAR WAS 02°40'29" LOW 02°40'29" A*	MER 150 FY9 FIS 06°38'48" WAA 06°38'47" Hf +7	VEN 0 APO WID 01°27'10" T W -2	VEN 120 VAR WID 02°37'05" LOW 02°37'06" HW ---
MER 144 GSZ WAS 26°20'23" WAA 02°20'22" Tf -7	VEN 30 ERI FIS 23°15'54" WID 23°15'53" A*	PAL 180 KN1 STE 06°26'55" KRE 06°26'55" A*	MAR 60 JUN SCH 21°35'27" WAA 21°35'26" H +4	VEN 60 SED FIS 26°55'30" STI 26°55'29" A	SON 90 VES WAS 16°46'39" STI 16°46'39" A	SON 45 CHI WAS 17°47'14" WAA 21°39'13" A	MER 135 JUN FIS 06°39'14" WID 02°47'14" A	MER 45 ERI FIS 08°17'57" WID 23°17'56" T -1	MER 72 GAZ SCH 09°01'02" SCH 27°01'01" T -1
SON 45 GAZ WAS 12°00'58" SCH 27°00'57" Hf +9	MER 120 EL6 WAS 27°50'52" WAA 27°50'52" A	VEN 60 SAT FIS 25°22'44" STE 25°22'43" T -2	PAL 90 FY9 STE 06°41'11" WAA 06°41'11" H* +5	MER 30 CHI FIS 02°42'13" WID 02°42'14" A	MER 60 QUA FIS 04°05'17" STE 04°05'17" H +1	MAR 30 PLU SCH 23°36'40" STE 23°36'40" A	SON 45 QUA WAS 19°08'03" STE 04°08'02" A	MER 144 VAR FIS 08°37'25" LOW 02°37'25" A	VEN 45 VES WID 02°43'11" STI 17°43'10" A
MER 90 SED WAS 26°55'45" STI 26°55'45" A	VEN 60 PLU FIS 23°27'25" STE 23°27'25" T K -2	MER 144 FY9 FIS 00°41'32" WAA 06°41'34" Hf +7	MER 30 CER FIS 01°40'16" WAS 01°40'16" Hf +7	MER 150 VAR FIS 02°42'39" LOW 02°42'39" Hf K +7	CER 120 GSZ WAS 02°20'24" WAA 02°20'24" A*	CER 60 CHI WAS 02°48'05" WID 02°48'05" A* W*	NEP 60 VES FIS 17°19'48" STI 17°19'47" A	MER 60 PAL FIS 08°40'37" STE 08°40'36" A	VEN 0 CHI WID 02°56'06" WID 02°56'05" Tf -8
MER 60 GAZ WAS 27°00'56" SCH 27°00'57" Tf -7	MER 45 JUP WAS 29°04'57" STE 14°04'56" A	VEN 90 GaZ FIS 26°30'15" STE 14°30'16" A	VEN 72 JUP FIS 26°30'15" STE 14°30'16" A	VEN 90 GaZ FIS 27°00'58" SCH 27°00'59" A	SON 30 NEP WAS 17°15'52" FIS 17°15'53" T -3	MER 72 MAR FIS 05°48'54" SCH 23°48'53" H* +5	VES 135 GSZ STI 17°20'25" WAA 02°20'26" A	VEN 180 GSZ WID 02°20'27" WAA 02°20'26" A	SON 72 URA WAS 21°02'39" STI 03°02'38" HW ---
SON 144 KN1 WAS 12°38'04" KRE 06°33'04" A W				CHI 120 VAR WID 02°42'32" LOW 02°42'32" H*(8/0,5) +8	SON 135 GSZ WAS 17°20'23" WAA 02°20'24" T -6	MER 120 KN1 FIS 06°14'35" KRE 06°14'33" A	MER 45 PLU STE 23°41'37" A	SON 135 KN1 WAS 21°06'17" KRE 06°06'16" HW ---	
				MER 60 URA FIS 02°55'38" STI 02°55'37" T K ---	MAR 120 ERI SCH 23°17'05" WID 23°17'06" A	URA 90 CER STI 02°59'01" WAS 02°59'02" A*		VEN 30 URA WID 03°02'47" STI 03°02'46" A	
				SON 45 APO WAS 16°02'41" WID 01°02'40" A	MER 72 VES FIS 04°55'56" STI 16°55'56" H +1			MAR 30 SAT SCH 26°09'53" STE 26°09'53" A	
				MAR 144 VES SCH 22°43'02" STI 16°43'02" H +4				SON 135 FY9 WAS 21°36'45" WAA 06°36'46" T -3	
				VEN 150 EL6 FIS 27°50'06" WAA 27°50'06" H +2				SON 120 JUN WAS 21°38'24" WAA 21°38'23" Hf ---	
								CER 30 QUA WAS 04°11'02" STE 04°11'02" A*	

Februar 2020



Prognose für SW-Deutschland

aktualisierter Index 3

Vom 2. - 6. Pallas 0° Kn2. Vom 3. bis 5. täglich ein Merkur-Hf-Aspekt! Am 16. beginnt Chiron 0° Apogäum H° und dauert bis zum 22.3. an. Wegen des Gewöhnungseffekts der Atmosphäre wird die Dauerauslösung Chiron 30° Uranus H8 nur die ersten drei Tage ihrer Aktivierung vom 21. - 23. angerechnet. Am 10./11. Dreierkonjunktion Apogäum-Venus-Chiron. Vom 23. bis 25. Dreierkonjunktion Quaoar-Mars-absteigender Mondknoten. Ab dem 24. beginnt die Konjunktion von Quaoar mit dem absteigenden Mondknoten. Die rot markierten Aspekte im Index 3 sind Aspekte, bei denen der ursprüngliche Konjunktionsplanet den höheren Flang hat als der Partnerplanet. Das bedeutet, dass der Konjunktionsplanet bei diesen Aspekten immer als Planet 2 auftritt. Diese Aspekte werden ab Januar 2020 nicht mehr angerechnet.

Langsamläufer-Impulse				2H°	H°		2H°	H°		
Schnellläufer-Impulse	H	H			T	T, H	H, Tf	T		Tf, H
Temperaturimpulse	W	K						K		W*
Premeteo-Index -zyklonal, + antizyklonal (Index 1+2+3)	-1	15	0	17	0	-24	7	11	-9	-18
Pre.IX (ALTERNATIV)						-16		3		-1
Index 1 (12 - 12 UTC) exakte Aspekte des Tages	1	8	0	17	0	-9	8	19	-1	-10
Index 1(ALTERNATIV)						-1		11		0
Symmetrien (0 - 0 UTC)		Ves 134 Qua GSZ (10) A° H° ?° +7	Mer 75 Sed GaZ (18) ?° ?° Qua 6 Mar Pal (23) H Tf° ...	Pal 6 Jup Qua (11) T° Tf° ...	GaZ 59 Son Hau (12) A° H° ... Sat 30 Son GaZ (14) T° A° A-7	Mak 30p Ven Chi (07) A H°?(4/2) ... Ven 23 Ura Nep (19) H°?(4/0) +7	Sat 10 Jup Cer (06) A°(4/6,5) H° ... Mar 4 Qua GaZ (11) H A° ... Qua 7 Pal GaZ (20) Tf° H°?(3/0) ...	Eri 10 Ven Ura (09) H H°?(4/1) ...	Var 50p Sat Cer (02) H°?(7/2) A° ... Mer 75 Sed GaZ (07) ?° ... Sed 144 Mar Jun (08) H A° H 0°+7 Mar 30 Chi GSZ (16) A A T°?(1/5) ... Var 151 Son Mar (23) T Tf H W 0°-14	
Index 2 (12 - 12 UTC)	7	7	0	0	0	-7	7	0	0	0
Index 2 ALTERNATIV										7
ausgelöste Aspekte (= durch Konjunktionen aktivierte Aspekte)	Mer 72 GaZ T-1 Chi 180 GSZ T°?(1/5) -8 Sed 150 GaZ ?° Var 144 GaZ A°?(2/1) Hau 80 GaZ ?°	Sed 150 GaZ ?° Var 144 GaZ A°?(2/1) Hau 60 GaZ ?°	Sed 150 GaZ ?° Var 144 GaZ A°?(2/1) Hau 60 GaZ ?°			Chi 30 Ura H(8) Chi 120 Var H°(8/0,5) (+8) Chi 180 GSZ T°?(1/5) -8	Chi 30 Ura H(8) Chi 120 Var H°(8/0,5) (+8) Chi 180 GSZ T°?(1/5) -8	Chi 30 Ura H(8) Chi 120 Var H°(8/0,5) (+8) Chi 180 GSZ T°?(1/5) -8	Chi 30 Ura H(8) Chi 120 Var H°(8/0,5) (+8) Chi 180 GSZ T°?(1/5) -8	Chi 30 Ura H(8) Chi 120 Var H°(8/0,5) (+8) Chi 180 GSZ T°?(1/5) -8
Index 3 (Summe)	-9	0	0	0	0	-8	-8	-8	-8	-8
Index 3 ALTERNATIV										
Symbol-Prognose	3	2	3	2	3	5	3	2	3	5
	3	2	3	2	3	5	3	2	3	5
Wochentag	Di	Mi	Do	Fr	Sa	So	Mo	Di	Mi	Do
Datum	11	12	13	14	15	16	17	18	19	20
reale Wetterlage	H3: 2H / +14		T3: - / 0	H4: 3H° - T / +17		T4: T - H / -24	H5: 3H°, H - Tf, T / +9			T5: Tf - H / -18
Luftdruck (hpa) 06 UTC	1013,2	1021	1016,9	1019,6	1026,1	1018,1	1018,5	1028,9	1021	1023,9
mittl. Temp.(°C)	6,4	5,6	5,8	7,7	7,1	15,1	10,7	7,5	6,5	8,9
Sonnenscheindauer (h)	3,3	1,8	0,2	2,4	8,4	4,5	0	2,4	2,8	6,7
Niederschlag (Liter)	0,7 / 2	0	4,4	0,5 / 1	0	0	16,2 / 19	0,9	3,2 / 8	0,2
Bodenwetterlage 00 UTC (Kernlage des Druckgebietes, das SW-D beeinflusst)	T ü N-Skand, T ü S-Nim	Azor-H	H ü Alpen	T ü N-D	H ü S-D	T s Isl u ü Nm	T m Kernen ü Isl, Nm, N-Skand	Azor-H	T ü Nsee	H ü Iber, H ü S-D
Bodenströmung 12 UTC zyklonal (z), antizyklonal (a)	a	a-z	z	a	a-z	z	fl a	a	fl a	fl z
Strömung auf 500 hpa 00 UTC	WNW fl z	NW fl z	NW fl a	WNW fl a	W a	SW fl z	SW z	WSW z	W z	NW z
zutreffende Wettersymbole	3 r	5 f	5 hr	5 f	2 hr	3-5 r	5 hr	3-5 f	3-5 hr	3-5 r

CHI 45 VES WID 02°58'31" STI 17°58'31" A°	04:48	MAR 150 SED SCH 26°55'26" STI 26°55'26" H +8	00:05	MER 180 ORC FIS 11°32'05" JUN 11°32'06" A	01:09	SAT 135 ORC STE 26°30'56" H° +7	02:05	VEN 72 SAT WID 08°38'26" STE 26°38'27" A	05:44	SON 90 SED WAS 26°55'42" STI 26°55'41" T -6	03:57	CER 120 FY9 WAS 06°31'54" WAA 06°31'54" A°	00:08	VEN 45 SED WID 11°55'52" STI 26°55'53" A	02:07	SON 144 FY9 FIS 00°29'35" WAA 06°29'34" A	16:42	MAR 150 VAR STE 02°26'10" LÖW 02°26'11" Tf -100	00:32
VEN 90 QUA WID 04°11'32" STE 04°11'33" A	09:56	MAR 0 GaZ	03:20	SON 30 PLU WAS 05°30'37" STE 23°47'28" A	01:27	CER 144 ORC WAS 05°30'37" JUN 11°30'37" A°	06:58	CER 150 KN1 WAS 05°50'53" KRE 05°50'53" A	05:50	SON 60 GaZ WAS 27°01'02" SCH 27°01'03" A	06:04	GSZ 180 APO WAA 02°20'28" WID 02°20'28" A°	01:07	VAR 120 APO LÖW 02°28'07" WID 02°28'07" A°	04:36	MER 60 PAL STE 12°16'14" A	17:21	MAR 90 APO STE 02°43'04" WID 02°43'05" A	10:21
MAR 144 VAR SCH 26°35'26" LÖW 02°35'27" H +4	12:25	SON 60 ERI WAS 23°18'57" WID 23°18'57" A	14:10	MAR 60 EL6 SCH 27°47'43" WAA 27°47'42" A	06:33	NEP 135 VAR FIS 17°32'11" LÖW 02°32'11" H°(11/3,5) +10	10:20	SON 144 GSZ WAS 26°20'28" WAA 02°20'27" A	14:00	VEN 135 QUA STI 19°17'00" STE 04°17'00" A°	07:18	PAL 120 ORC STE 11°27'10" JUN 11°27'10" H° +5	10:17	MER 135 EL6 FIS 12°45'24" WAA 27°45'24" A	06:36	MAR 90 GSZ STE 02°20'30" WAA 02°20'29" A	21:14	VEN 72 VAR STE 02°43'04" LÖW 02°25'42" A°	11:52
VEN 60 CER WID 04°26'22" WAS 04°26'22" A W	15:01	VEN 72 PLU WID 05°46'57" STE 23°46'57" A	18:40	VEN 180 FY9 WID 06°34'48" WAA 06°34'48" A	11:07	SON 45 PAL WAS 25°28'41" STE 10°28'41" A	17:30	CHI 30 URA WID 03°11'25" STI 03°11'25" H°(11/4) 0+8	15:32	SON 120 EL6 WAS 27°46'02" WAA 27°46'03" H +3	23:53	VEN 150 ORC WID 11°26'53" JUN 11°26'53" H +2	16:03	NEP 72 KN2 FIS 17°40'48" STE 05°40'48" H°(10/3) +10	09:58	MER 45 SAT FIS 12°08'52" STE 27°08'53" A	23:32	JUP 60 NEP STE 17°45'45" FIS 17°45'45" A° W	15:58
	19:34	MER 45 SAT STE 11°22'35" STE 26°22'35" A	19:34	MER 135 EL6 FIS 12°46'34" WAA 27°46'34" A	21:29		21:29	MER 72 MAR FIS 12°50'58" STE 00°50'59" A	17:13	MER 30 VEN FIS 12°38'50" WID 12°38'51" T K -1	17:04		17:04	MAR 144 SED STE 02°56'13" STI 26°56'14" H 0/4	17:59		17:59		
	20:46	PAL 72 EL6 STE 09°47'53" WAA 27°47'52" A°	20:46	SON 30 SAT WAS 26°43'07" STE 26°43'07" T -3	22:58		22:58	VEN 90 PAL WID 11°34'48" STE 11°34'47" Tf 0/-8	18:48	SAT 30 GaZ STE 27°01'05" SCH 27°01'05" A°	18:02		18:02	VEN 45 KN1 STI 20°32'51" KRE 05°32'51" A°	22:03		22:03		
	22:32	VEN 90 KN1 WID 05°58'12" KRE 05°58'12" A K	22:32					SAT 120 SED STE 26°55'52" STI 26°55'52" H° +7	22:27		22:27		22:27	PAL 135 SED STE 11°55'57" STI 26°55'58" A°	18:31		18:31		

Februar 2020



Prognose für SW-Deutschland

aktualisierter Index 3

Vom 2. - 6. Pallas 0° Kn2. Vom 3. bis 5. täglich ein Merkur-Hf-Aspekt! Am 16. beginnt Chiron 0° Apogäum H° und dauert bis zum 22.3. an. Wegen des Gewöhnungseffekts der Atmosphäre wird die Dauerauslösung Chiron 30° Uranus H8 nur die ersten drei Tage ihrer Aktivierung vom 21. - 23. angerechnet. Am 10./11. Dreierkonjunktion Apogäum-Venus-Chiron. Vom 23. bis 25. Dreierkonjunktion Quaoar-Mars absteigender Mondknoten. Ab dem 24. beginnt die Konjunktion von Quaoar mit dem absteigenden Mondknoten. Die rot markierten Aspekte im Index 3 sind Aspekte, bei denen der ursprüngliche Konjunktionsplanet den höheren Rang hat als der Partnerplanet. Das bedeutet, dass der Konjunktionsplanet bei diesen Aspekten immer als Planet 2 auftritt. Diese Aspekte werden ab Januar 2020 nicht mehr angerechnet.

Langsamläufer-Impulse		H°			T°, 9°			H°	T°
Schnellläufer-Impulse	2H, T	2T, H	T, H, Hf	2T, H	3H	H, T, Hf	3T	3H, H	T
Temperaturimpulse		K	K	W	W	K	K	W, K?	K
Premeteo-Index - zyklonal, + antizyklonal (Index 1+2+3)	11	13	31	4	16	16	-12	9	0
Pre.IX (ALTERNATIV)	5			13	9				
Index 1 (12 - 12 UTC) exakte Aspekte des Tages	3	5	6	1	6	13	-5	8	-1
Index 1 (ALTERNATIV)	11			10	-1				
Symmetrien (0 - 0 UTC)	Son 150 Var GSZ (13) T H ?° ?	Mer 7 Son Nep (10) H H W --- A H° (8/3) A K ---	Ves 71 Var Mer (02) A° H A +7 Son 60 Ura Qua (02) A K A H° (6/2) 0 Son 59 Mar Ura (05) H W A K A +7 Ven 15 Ura Chi (21) H° (8/3) --- Mer 72 Ves Gaz (21) H T H° ? Crc 60p Son Nep (22) H ?° ---	Mer 45 Plu Eri (08) A A A° (4/5) Mar 8 Pal Gaz (10) A A --- Gaz 145 Ves Var (21) H° A° (2/1) A° +7	Var 145 GaZ Mer (09) A° (2/1) A T --- Pal 10 Plu Qua (12) A° T° ---	Hau 60p Ven Ura (18) H H° (5/1.5) --- Var 145 Son Gaz (19) T A° (2/1) H -7	Var 80p Plu Cer (05) ?° A° --- Son 44 Ven Plu (15) A K T A i (-7) Index 1 Son 45 Plu Eri (23) T A A° (4/5) (-7)	Crc 70p Nep Mer (09) ?° A --- Chi 30 Ura Mer (17) H° (8/3) A T --- Ven 40p Jun Hau (17) A H --- Mer 60 Ura Qua (18) T H H° (6/2) ?	Son 73 Ves Gaz (03) A H H° +7 Cer 37 Nep Qua (10) T° (0/3) -14? Nep 37 Ven Cer (12) T -7 Son 8 Nep Mer (17) H W H ---
Index 2 (12 - 12 UTC)	0	0	14	0	7	0	-7	0	0
Index 2 ALTERNATIV	-14								
ausgelöste Aspekte (= durch Konjunktionen aktivierte Aspekte)	Chi 30 Ura H8 Chi 90 Qua H° (5,5/2)	Chi 30 Ura H8 Ura 120 Qua H° (6/2) Chi 90 Qua H° (5,5/2)	Son 60 Mar H3 (Mar 180 Kn1 H4) Chi 30 Ura H8 Ura 120 Qua H° (6/2) Chi 90 Qua H° (5,5/2)	Son 60 Mar H3 (Mar 180 Kn1 H4) Chi 30 Ura H8 Ura 120 Qua H° (6/2) Chi 90 Qua H° (5,5/2)	Son 60 Mar H3 (Mar 180 Kn1 H4) Chi 30 Ura H8 Ura 120 Qua H° (6/2) Chi 90 Qua H° (5,5/2)	Son 150 Mak H3 (Chi 30 Ura H8) Ura 120 Qua H° (6/2) Chi 90 Qua H° (5,5/2)	(Chi 30 Ura H8) Ura 120 Qua H° (6/2) Chi 90 Qua H° (5,5/2)	Mer 60 Qua H1 (Chi 30 Ura H8) Cer 72 Eri T-5 Ves 30 Eri H5 Plu 90 Eri A° (4/5) Ura 120 Qua H° (6/2) Chi 90 Qua H° (5,5/2)	Mer 60 Qua H1 (Chi 30 Ura H8) Cer 72 Eri T-5 Ves 30 Eri H5 Plu 90 Eri A° (4/5) Ura 120 Qua H° (6/2) Chi 90 Qua H° (5,5/2)
Index 3 (Summe)	8	8	11	3	3	3	0	1	1
Index 3 ALTERNATIV									
Symbol-Prognose	2	2	2	2	2	2	3	2	3
Datum	21	22	23	24	25	26	27	28	29
Wochentag	Fr	Sa	So	Mo	Di	Mi	Do	Fr	Sa
reale Wetterlage	H6: 2H°, 2Hf, 12H - T°, 11T - ?° / +88								
Luftdruck (hpa) 06 UTC	1030,6	1030,8	1026,8	1025,7	1009,3	1002,5	1010,6	1021,5	1004,3
mittl. Temp.(°C)	6,1	7,9	12,2	12	8,9	3,7	4,3	6,6	11,3
Sonnenscheindauer (h)	5,5	7	0	4,5	0,1	1,4	0	7,3	0,3
Niederschlag (Liter)	0	3,6 / 4	0,2 / 12	0,3 / 8	7 / 6	3,4 / 7	4,4 / 8	0,2	4,9 / 8
Bodenwetterlage 00 UTC (Kernlage des Druckgebiets, das SW-D beeinflusst)	T ü Nm, Azor-H	Azor-H m Kern ü F u O-Alpen	Azor-H m Kern ü Pyrenäen	H ü SW-F	T ü Nsee	fl schm Keil von Azor-H	Azor-H	H vor Portu, H ü SW-F	T ü NO-Atl, H ü W-Balk
Bodenströmung 12 UTC zyklonal (z), antizyklonal (a)	a	fl a	fl z	fl z	fl a	a	z	a-z	z
Strömung auf 500 hpa 00 UTC	W z	NW a	W a-z	NW a-z	W a-z	SW z	NW z	NW z	W a
zutreffende Wettersymbole	2-5 hr	2-3 r	5 f	3-5 hr	5 f	5 f	5 hr	2-3 r	5 hr

MAR 72 JUN STE 03°10'08" WAA 21°10'09" H 0/44	02:04	SON 30 APO FIS 02°54'08" WID 02°54'08" T ---	02:02	VEN 30 NEP WID 17°51'32" FIS 17°51'31" A	06:29	MER 72 GaZ FIS 09°01'07" SCH 27°01'07" T -1/0	01:19	MAR 72 NEP STE 05°55'34" FIS 17°55'34" A	02:04	MER 0 SON FIS 06°55'08" FIS 06°55'08" H +2	01:46	MAR 135 VES STE 07°22'47" STI 22°22'47" A	04:38	SON 72 GaZ FIS 09°01'09" SCH 27°01'09" WID 03°41'04" A	03:54	MER 30 APO FIS 03°41'04" WID 03°41'04" A	02:33
MER 180 ORC FIS 11°22'45" JUN 11°22'45" A	06:39	SON 45 JUP FIS 03°04'30" STE 18°04'29" A	06:09	SON 60 QUA FIS 04°24'18" STE 04°24'19" A	13:50	MAR 180 KNT STE 05°22'11" FIS 05°55'41" H +4	06:42	SON 60 MAR STE 05°55'41" FIS 05°55'41" H W +3	02:08	MER 60 MAR FIS 06°43'42" STE 06°43'44" A	06:00	VEN 30 VES WID 22°24'42" STI 22°24'42" H K? +4	07:11	VEN 0 ERI WID 23°25'23" WID 23°25'23" T K -1	04:49	MER 60 URA FIS 03°39'18" STI 03°39'19" T K -1	03:15
MAR 120 URA STE 03°22'22" STI 03°22'21" A	09:10	VES 144 GaZ STE 27°01'07" H° +5	13:45	JUN 144 SED WAA 20°56'42" STI 26°56'42" A	15:46	SON 120 KN1 FIS 05°21'25" KRE 05°21'24" A W	12:31	SAT 90 HAU STE 27°41'21" WAA 27°41'21" T K ---	05:10	MER 45 VEN FIS 06°29'06" WID 21°29'05" T K ---	11:24	MER 135 JUN FIS 05°33'10" WAA 20°33'09" A	08:03	MER 60 QUA FIS 04°28'30" STE 04°28'31" H +1	08:15	CER 150 ORC WAS 11°13'24" JUN 11°13'24" A	06:09
SON 150 GSZ FIS 02°20'29" WAA 02°20'30" H +3	12:41	SON 60 URA FIS 03°24'49" STI 03°24'51" A K	14:13	VEN 90 JUP WID 18°21'26" STE 18°21'25" T K -2	17:01	MER 45 ERI FIS 08°23'45" WID 23°23'46" A	16:11	SON 150 FY9 FIS 06°24'09" WAA 06°24'10" H +6	13:27	MER 150 FY9 FIS 06°23'11" WAA 06°23'11" HF +7	13:35	VEN 72 CER WID 22°31'04" WAS 10°31'04" T -2	09:27	SON 45 PLU FIS 09°13'00" STE 24°13'01" T ---	08:37	CER 72 ERI WAS 11°26'10" WID 23°26'10" T° -5	19:40
MAR 90 CHI STE 03°29'27" WID 03°29'27" A	13:17	VES 150 JUN STI 21°02'18" WAA 21°02'18" A	15:25	MER 72 VES FIS 09°20'56" STI 21°02'55" H 0/+1	17:09	MER 144 VAR FIS 08°21'27" LOW 02°21'26" A	17:05	VAR 60 GSZ LOW 02°20'31" WAA 02°20'31" ?°	15:42	SON 144 VAR FIS 08°18'46" LOW 02°18'47" T -3	11:02	MER 45 JUP FIS 04°16'25" STE 19°16'26" A	12:51	SON 45 ERI FIS 08°25'06" WID 23°25'05" A	13:33	URA 30 APO STI 03°38'16" WID 03°38'16" A	16:29
SON 150 VAR FIS 02°24'34" LOW 02°24'34" T ---	14:18	SON 30 CHI FIS 03°33'08" WID 03°33'09" A	17:31	MER 30 CER FIS 09°10'54" WAS 09°10'54" HF 0/+7	21:19	SON 135 JUN FIS 05°48'51" WAA 20°48'50" T -3	23:25	MAR 90 FY9 STE 06°23'58" WAA 06°23'57" H +4	18:32	VEN 180 JUN WID 20°43'34" WAA 20°43'34" A	19:15	MER 120 KN1 FIS 05°11'23" KRE 05°11'24" A	16:08	MER 30 CHI FIS 03°53'05" WID 03°53'05" A	21:51		
			20:44	MAR 0 QUA STE 04°23'38" STE 04°23'39" H +8	23:17	MER 45 PLU FIS 09°06'06" STE 24°06'07" A	23:40	VES 135 FY9 STI 21°25'40" WAA 06°25'40" A			23:29	VEN 72 KNT WID 23°10'26" KRE 05°10'25" T K ---	22:09	VEN 90 PLU WID 24°13'52" STE 24°13'53" A			
					23:40	VES 135 FY9 STI 21°25'40" WAA 06°25'40" A					23:37	CER 144 KNT WAS 11°07'13" KRE 05°07'14" H° ---					

Februar 2020



Prognose für SW-Deutschland

aktualisierter Index 3

Vom 2. - 6. Pallas 0° Kn2. Vom 3. bis 5. täglich ein Merkur-Hf-Aspekt! Am 16. beginnt Chiron 0° Apogäum H° und dauert bis zum 22.3. an. Wegen des Gewöhnungseffekts der Atmosphäre wird die Dauerauslösung Chiron 30° Uranus H8 nur die ersten drei Tage ihrer Aktivierung vom 21. - 23. angerechnet. Am 10./11. Dreierkonjunktion Apogäum-Venus-Chiron. Vom 23. bis 25. Dreierkonjunktion Quaoar-Mars absteigender Mondknoten. Ab dem 24. beginnt die Konjunktion von Quaoar mit dem absteigenden Mondknoten. Die rot markierten Aspekte im Index 3 sind Aspekte, bei denen der ursprüngliche Konjunktionsplanet den höheren Rang hat als der Partnerplanet. Das bedeutet, dass der Konjunktionsplanet bei diesen Aspekten immer als Planet 2 auftritt. Diese Aspekte werden ab Januar 2020 nicht mehr angerechnet.

Langsamläufer-Impulse		H*			T*, 9*			H*	T*
Schnellläufer-Impulse	2H, T	2T, H	T, H, Hf	2T, H	3H	H, T, Hf	3T	3H, H	T
Temperaturimpulse		K	K	W	W	K	K	W, K?	K
Premeteo-Index - zyklonal, + antizyklonal (Index 1+2+3)	11	13	31	4	16	16	-12	9	0
Pre.IX (ALTERNATIV)	5			13	9				
Index 1 (12 - 12 UTC) exakte Aspekte des Tages	3	5	6	1	6	13	-5	8	-1
Index 1 (ALTERNATIV)	11			10	-1				
Symmetrien (0 - 0 UTC)	Son 150 Var GSZ (13) T H ?* ?	Mer 7 Son Nep (10) H H W --- A H* (8/3) A K ---	Ves 71 Var Mer (02) A* H A +7 Son 60 Ura Qua (02) A K A H?*(6/2) 0 Son 59 Mar Ura (05) H W A K A +7 Ven 15 Ura Chi (21) H* (8/3) --- Mer 72 Ves Gaz (21) H T H* ? Ors 60p Son Nep (22) H ?* ---	Mer 45 Plu Eri (08) A A A*(4/5) Mar 8 Pal Gaz (10) A A --- Gaz 145 Ves Var (21) H* A?*(2/1) A* +7	Var 145 GaZ Mer (09) A?*(2/1) A T --- Pal 10 Plu Qua (12) A* T* ---	Hau 60p Ven Ura (18) H H?*(5/1.5) --- Var 145 Son Gaz (19) T A?*(2/1) H -7	Var 80p Plu Cer (05) ?* A* --- Son 44 Ven Plu (15) A K T A (-7) Index 1 Son 45 Plu Eri (23) T A A?*(4/5) (-7)	Ors 70p Nep Mer (09) ?* A --- Chi 30 Ura Mer (17) H* (8/3) A T --- Ven 40p Jun Hau (17) A H --- Mer 60 Ura Qua (18) T H H?*(6/2) ?	Son 73 Ves Gaz (03) A H H* +7 Cer 37 Nep Qua (10) T?*(0/3) -14? Nep 37 Ven Cer (12) T -7 Son 8 Nep Mer (17) H W H ---
Index 2 (12 - 12 UTC)	0	0	14	0	7	0	-7	0	0
Index 2 ALTERNATIV	-14								
ausgelöste Aspekte (= durch Konjunktionen aktivierte Aspekte)	Chi 30 Ura H8 Chi 90 Qua H?*(5,5/2)	Chi 30 Ura H8 Ura 120 Qua H?*(6/2) Chi 90 Qua H?*(5,5/2)	Son 60 Mar H3 (Mar 180 Kn1 H4) Chi 30 Ura H8 Ura 120 Qua H?*(6/2) Chi 90 Qua H?*(5,5/2)	Son 60 Mar H3 (Mar 180 Kn1 H4) Chi 30 Ura H8 Ura 120 Qua H?*(6/2) Chi 90 Qua H?*(5,5/2)	Son 60 Mar H3 (Mar 180 Kn1 H4) Chi 30 Ura H8 Ura 120 Qua H?*(6/2) Chi 90 Qua H?*(5,5/2)	Son 150 Mak H3 (Chi 30 Ura H8) Ura 120 Qua H?*(6/2) Chi 90 Qua H?*(5,5/2)	(Chi 30 Ura H8) Ura 120 Qua H?*(6/2) Chi 90 Qua H?*(5,5/2)	Mer 60 Qua H1 (Chi 30 Ura H8) Cer 72 Eri T-5 Ves 30 Eri H5 Plu 90 Eri A?*(4/5) Ura 120 Qua H?*(6/2) Chi 90 Qua H?*(5,5/2)	Mer 60 Qua H1 (Chi 30 Ura H8) Cer 72 Eri T-5 Ves 30 Eri H5 Plu 90 Eri A?*(4/5) Ura 120 Qua H?*(6/2) Chi 90 Qua H?*(5,5/2)
Index 3 (Summe)	8	8	11	3	3	3	0	1	1
Index 3 ALTERNATIV									
Symbol-Prognose	2	2	2	2	2	2	3	2	3
Datum	21	22	23	24	25	26	27	28	29
Wochentag	Fr	Sa	So	Mo	Di	Mi	Do	Fr	Sa
reale Wetterlage	H6: 2H*, 2Hf, 12H - T*, 11T - ?* / +88								
Luftdruck (hpa) 06 UTC	1030,6	1030,8	1026,8	1025,7	1009,3	1002,5	1010,6	1021,5	1004,3
mittl. Temp.(°C)	6,1	7,9	12,2	12	8,9	3,7	4,3	6,6	11,3
Sonnenscheindauer (h)	5,5	7	0	4,5	0,1	1,4	0	7,3	0,3
Niederschlag (Liter)	0	3,6 / 4	0,2 / 12	0,3 / 8	7 / 6	3,4 / 7	4,4 / 8	0,2	4,9 / 8
Bodenwetterlage 00 UTC (Kernlage des Druckgebiets, das SW-D beeinflusst)	T ü Nm, Azor-H	Azor-H m Kern ü F u O-Alpen	Azor-H m Kern ü Pyrenäen	H ü SW-F	T ü Nsee	fl schm Keil von Azor-H	Azor-H	H vor Portu, H ü SW-F	T ü NO-Atl, H ü W-Balk
Bodenströmung 12 UTC zyklonal (z), antizyklonal (a)	a	fl a	fl z	fl z	fl a	a	z	a-z	z
Strömung auf 500 hpa 00 UTC	W z	NW a	W a-z	NW a-z	W a-z	SW z	NW z	NW z	W a
zutreffende Wettersymbole	2-5 hr	2-3 r	5 f	3-5 hr	5 f	5 f	5 hr	2-3 r	5 hr

MAR 72 JUN STE 03°10'08" WAA 21°10'09" H 0/44	02:04	Son 30 APO FIS 02°54'08" WID 02°54'08" T ---	02:02	VEN 30 NEP WID 17°51'32" FIS 17°51'31" A	06:29	MER 72 GaZ FIS 09°01'07" SCH 27°01'07" T -1/0	01:19	MAR 72 NEP STE 05°55'34" FIS 17°55'34" A	02:04	MER 0 SON FIS 06°55'08" FIS 06°55'08" H +2	01:46	MAR 135 VES STE 07°22'47" STI 22°22'47" A	04:38	SON 72 GaZ FIS 09°01'09" SCH 27°01'09" WID 03°41'04" A	03:54	MER 30 APO FIS 03°41'04" WID 03°41'04" A	02:33
MER 180 ORC FIS 11°22'45" JUN 11°22'45" A	06:39	SON 45 JUP FIS 03°04'30" STE 18°04'29" A	06:09	SON 60 QUA FIS 04°24'18" STE 04°24'19" A	13:50	MAR 180 KNT STE 05°22'11" FIS 05°55'41" KRE 05°22'11" H +4	06:42	SON 60 MAR STE 05°55'41" FIS 05°55'41" H W +3	02:08	MER 60 MAR FIS 06°43'42" STE 06°43'44" A	06:00	VEN 30 VES WID 22°24'42" STI 22°24'42" H K? +4	07:11	VEN 0 ERI WID 23°25'23" WID 23°25'23" H K? +4	04:49	MER 60 URA FIS 03°39'18" STI 03°39'19" T K -1	03:15
MAR 120 URA STE 03°22'22" STI 03°22'21" A	09:10	VES 144 GaZ STE 27°01'07" H* +5	13:45	JUN 144 SED WAA 20°56'42" STI 26°56'42" A	15:46	SON 120 KN1 FIS 05°21'25" KRE 05°21'24" A W	12:31	SAT 90 HAU STE 27°41'21" WAA 27°41'21" T*(4/12/4) 0/-7	05:10	MER 45 VEN FIS 06°29'06" WID 21°29'05" T K ---	11:24	MER 135 JUN FIS 05°33'10" WAA 20°33'09" A	08:03	MER 60 QUA FIS 04°28'30" STE 04°28'31" H +1	08:15	CER 150 ORC WAS 11°13'24" JUN 11°13'24" A*	06:09
SON 150 GSZ FIS 02°20'29" WAA 02°20'30" H +3	12:41	SON 60 URA FIS 03°24'49" STI 03°24'51" A K	14:13	VEN 90 JUP WID 18°21'26" STE 18°21'25" T K -2	17:01	MER 45 ERI FIS 08°23'45" WID 23°23'46" A	16:11	SON 150 FY9 FIS 06°24'09" WAA 06°24'10" H +6	13:27	MER 150 FY9 FIS 06°23'11" WAA 06°23'11" HF +7	13:35	VEN 72 CER WID 22°31'04" WAS 10°31'04" T -2	09:27	SON 45 PLU FIS 09°13'00" STE 24°13'01" T ---	08:37	CER 72 ERI WAS 11°26'10" WID 23°26'10" T* -5	19:40
MAR 90 CHI STE 03°29'27" WID 03°29'27" A	13:17	VES 150 JUN STI 21°02'18" WAA 21°02'18" A*	15:25	MER 72 VES FIS 09°20'56" STI 21°02'55" H 0/+1	17:09	MER 144 VAR FIS 08°21'27" LOW 02°21'26" A	17:05	VAR 60 GSZ LOW 02°20'31" WAA 02°20'31" ?*	15:42	SON 144 VAR FIS 08°18'46" LOW 02°18'47" T -3	11:02	MER 45 JUP FIS 04°16'25" STE 19°16'26" A	12:51				
SON 150 VAR FIS 02°24'34" LOW 02°24'34" T ---	14:18	SON 30 CHI FIS 03°33'08" WID 03°33'09" A	17:31	MER 30 CER FIS 09°10'54" WAS 09°10'54" HF 0/+7	21:19	SON 135 JUN FIS 05°48'51" WAA 20°48'50" T -3	23:25	MAR 90 FY9 STE 06°23'58" WAA 06°23'57" H +4	18:32	SON 45 ERI FIS 08°25'06" WID 23°25'05" A	13:33	URA 30 APO STI 03°38'16" WID 03°38'16" A*	16:29				
VEN 144 ORC WID 17°20'56" JUN 11°20'57" T -2	19:43	ERI 72 KN1 WID 23°23'25" KRE 05°23'25" A*	21:22			19:15	VEN 180 JUN WID 20°43'34" WAA 20°43'34" A	16:08	MER 120 KN1 FIS 05°11'23" KRE 05°11'24" A	16:08	MER 30 CHI FIS 03°53'05" WID 03°53'05" A	21:51					
MAR 0 QUA STE 04°23'38" STE 04°23'39" H +8	20:44	MER 45 PLU FIS 09°06'06" STE 24°06'07" A	23:17					23:29	VEN 72 KNT WID 23°10'26" KRE 05°10'25" T K ---	23:29	VEN 90 PLU WID 24°13'52" STE 24°13'53" A	22:09					
			23:40	VES 135 FY9 STI 21°25'40" WAA 06°25'40" A*								23:37	CER 144 KN1 WAS 11°07'13" KRE 05°07'14" H* ---				

Februar 2020: Fehlprognosen

Datum	Vorzeichen Symbol	Analyse
3.	+2 5 hr	Um 0 UTC waren die Isobaren über Südwestdeutschland flach zu einem Hoch über der Iberischen Halbinsel gekrümmt und zugleich überquerte eine Kaltfront unsere Region. Um 12 UTC war die Strömung bereits zyklonal. Dabei fiel ungewöhnlich viel Niederschlag und es kam lokal zu Überschwemmungen und Erdrutschen. Flacher Index. Das Wettergeschehen vollzog sich zwischen den gegensätzlichen Impulsaspekten Venus 60° Pluto T / 60° Saturn T, Sonne 30° Jupiter T und Merkur 144° Makemake Hf.
11.	-1 3 r	Orkantief Sabine über Nordskandinavien. Um 12 UTC hatte sich bereits eine antizyklonale Strömung durch das Azorenhoch eingestellt. Flacher Index, auf 500 hPa zyklonal.
19.	-9 3-5 hr	Tief Victoria I, II, III mit Kernen über Finnland, Nordsee, Karasee noch einmal bis über unsere Region aus, doch hatte sich bis 12 Uhr schon wieder eine antizyklonale Strömung durchgesetzt, die am 20. einen Kern über Süddeutschland aufwies. Flacher Index, auf 500 hPa zyklonal.
27.	-12 5 hr	Azorenhoch. Der Premeteo-Index hatte an diesem Tag einen einzelnen negativen Wert. Ausschlaggebend war hierfür der Aspekt Sonne 144° Varuna T und seine Symmetrie zu Varuna 144° GaZ A?* und das Wetter mit Niederschlag und dichter Bewölkung entsprach der Prognose, wobei das Luftdruckminimum aber schon am Vortag erreicht worden war. Auf 500 hPa zyklonal.

Monatsauswertung (Lahr)

Feb 20

H-Wetterlagen

	Anzahl der Wetterlagen	Anzahl der Tage	Niederschlag in Liter	H*	Hf	H	T*	Tf	T	L
normal	5	21	48,6 / 78	11	5	20	2	1	17	1
anormal	1	2	21,8 / 14	0	1	1	0	2	1	0
gesamt	6	23	70,4 / 78	11	6	21	2	3	18	1

Verhältnis H/Tage = 38/23 = 1,65
Verhältnis T/Tage = 23/23 = 1,00

T-Wetterlagen

	Anzahl der Wetterlagen	Anzahl der Tage	Niederschlag in Liter	H*	Hf	H	T*	Tf	T	L
normal	5	5	22,3 / 66,0	0	1	2	1	1	4	0
anormal	1	1	8,1 / 2	0	1	3	0	1	2	0
gesamt	6	6	30,4 / 68	0	2	5	1	2	6	0

Verhältnis H/Tage = 7/6 = 1,17
Verhältnis T/Tage = 9/6 = 1,50

ganzer Monat	Anzahl der Wetterlagen	Anzahl der Tage	Niederschlag in Liter	H*	Hf	H	T*	Tf	T	L
	12	29	100,8 / 146	11	8	26	3	5	24	1

Gesamtzahl H-Aspekte: 45
Gesamtzahl T-Aspekte: 32
Zahl aller Aspekte: 181
Quotient H/T = 1,41
Gesamtzahl L-Aspekte: 1

Niederschlag Durbach: s.o. hinter Schrägstrich

r = richtig hr = halbrichtig f = falsch

Symbolprognose in Tagen	7 r 15 hr 7 f
-------------------------	---------------

Premeteo-Index pro Tag	HWL +209/23 = +9,09	TWL -48/6 = -8,00
------------------------	---------------------	-------------------

bezüglich des Vorzeichens richtige Tage	25	bezüglich des Vorzeichens falsche Tage	4
---	----	--	---

Bei der Auswertung des Januar 2017 wurde entdeckt, dass im Index 3 möglicherweise nur dann Auslösungsaspekte aktiviert werden, wenn der Konjunktionsplanet einen Aspekt mit einem Planeten bildet, der einen höheren Rang hat als der betroffene Konjunktionsplanet selbst. Dies bestätigte sich im Laufe des ganzen Jahres 2017. Manchmal entstand der Eindruck, dass die im korrigierten Index 3 nicht mehr angerechneten Aspekte auf 500 hpa zum Teil doch anwesend waren. Ab Januar 2018 werden nur noch die im Index 3 korrigierten Prognosen ausgewertet.